

Программа «ArkBes» имеет объем 1,9 Мбт, составлена в среде программирования Delphi 7, работает под управлением Windows 98 и выше, не требует специальной установки, может работать в сети, имеет удобный интерфейс для работы в ней, развитый и подробный «Help», графическое представление и исходных данных, и результатов расчета. Имеются возможности ряда настроек вида программы и изображений в ней, включая масштабирование графических объектов, изображение (удаление) вертикальной сетки.

Изложенные подходы в создании учебной программы «ArkBes», с нашей точки зрения, создают условия и базу для более глубокого изучения методов расчета и понимания физических основ работы сооружений, способствуют интенсификации и активизации учебного процесса, индивидуализации познавательной деятельности, развитию творческого и инженерного мышления будущих специалистов.

### ЛИТЕРАТУРА

1. Игнатюк В.И. Создание учебных компьютерных программ для курса строительной механики // Вышэйшая школа. – 2001. – № 6. – С. 35–38.
2. Рудлевский Д.В., Игнатюк В.И. К расчету бесшарнирных арок на вертикальные нагрузки // Сборник конкурсных работ студентов и магистрантов – 2008 / УО БрГТУ. – Брест, 2008.

УДК 624.04

Рудлевский Д.В.

Научный руководитель: доц. Игнатюк В.И.

### К РАСЧЕТУ БЕСШАРНИРНЫХ АРОК НА ВЕРТИКАЛЬНЫЕ НАГРУЗКИ

Рассматриваются плоские симметричные арочные системы бесшарнирного типа, а также длинные своды и протяженные арочно-оболочечные покрытия, расчет которых при неизменной по их длине нагрузке может быть приведен к расчету плоских бесшарнирных арок.

Расчет бесшарнирных арок (рис. 1) на неподвижные нагрузки заключается [1] в определении внутренних сил (изгибающих моментов  $M$ , поперечных  $Q$  и продольных  $N$  сил) в сечениях, построении их эпюр, а также в определении перемещений сечений и соответственно деформированного вида арок.

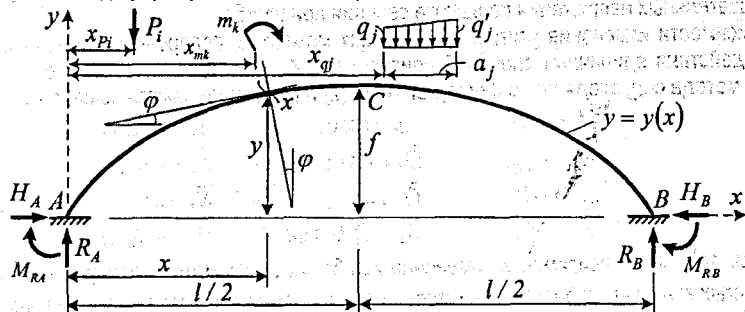


Рис. 1. Расчетная схема бесшарнирной арки

Бесшарнирные арки являются статически неопределимыми системами, имеют три «лишние» связи и их расчет обычно выполняется методом сил. Основную систему метода сил с учетом симметричности системы выберем путем разрезания арок посередине с

перенесением неизвестных в упругий центр (рис. 2,а). Неизвестные метода сил определяются из уравнений

$$\begin{cases} \delta_{11} X_1 + \Delta_{1p} = 0; \\ \delta_{22} X_2 + \Delta_{2p} = 0; \\ \delta_{33} X_3 + \Delta_{3p} = 0. \end{cases} \quad (1)$$

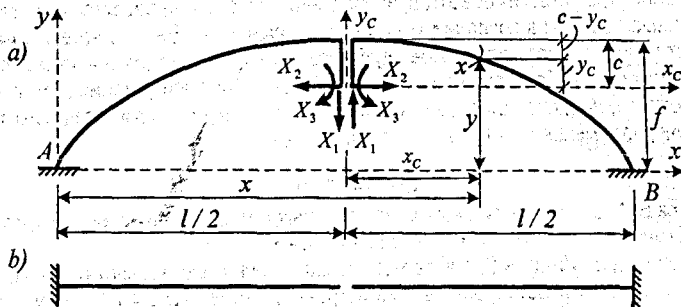


Рис. 2. Основная система метода сил

Коэффициенты  $\delta_i$  и  $\Delta_{ip}$  в (1) представляют собой перемещения в направлении отброшенных связей (взаимное расхождение по вертикали, по горизонтали и взаимный угол поворота точек (сечений) в месте разрезания) от действия соответственно единичных значений неизвестных  $X_i$  и внешних нагрузок, и определяются по формулам [1]:

$$\delta_{ii} = \int_0^s \frac{\bar{M}_i^2 ds}{EJ} + \int_0^s \eta \frac{\bar{Q}_i^2 ds}{GA} + \int_0^s \frac{\bar{N}_i^2 ds}{EA}; \quad (2)$$

$$\Delta_{ip} = \int_0^s \frac{\bar{M}_i M_p ds}{EJ} + \int_0^s \eta \frac{\bar{Q}_i Q_p ds}{GA} + \int_0^s \frac{\bar{N}_i N_p ds}{EA}, \quad (3)$$

где  $EJ$ ,  $GA$ ,  $EA$  – жесткости (их изменение) стержня арки соответственно при изгибе, сдвиге и продольном растяжении-сжатии;  $ds = dx/\cos \varphi$ ,  $dx$  – бесконечно малые участки дуги и пролета арки;  $\eta$  – коэффициент, учитывающий неравномерность распределения касательных напряжений по высоте сечения при изгибе.

Зависимости изменения усилий (изгибающих моментов, поперечных и продольных сил) от действия единичных значений неизвестных  $X_i$  и внешних нагрузок в основной системе метода сил, входящие в формулы Мора (2) и (3), определяются выражениями:

$$\begin{aligned} \bar{M}_1 &= x_c; & \bar{Q}_1 &= \cos \varphi; & \bar{N}_1 &= -\sin \varphi; \\ \bar{M}_2 &= -y_c; & \bar{Q}_2 &= -\sin \varphi; & \bar{N}_2 &= -\cos \varphi; \\ \bar{M}_3 &= -1; & \bar{Q}_3 &= 0; & \bar{N}_3 &= 0; \\ M_p &= M_p^0; & Q_p &= Q_p^0 \cos \varphi; & N_p &= -Q_p^0 \sin \varphi. \end{aligned} \quad (4)$$

Здесь  $M_p^0$ ,  $Q_p^0$  – зависимости изменения изгибающих моментов и поперечных сил в двух простых консольных балках, защемленных по краям, длины которых равны вылетам консолей полуарок в основной системе метода сил (рис. 2,б);  $\varphi$  – угол наклона касательной к оси арки по отношению к оси  $x$  (нормали к оси арки по отношению к оси  $y$ ) (рис. 1).

Положение упругого центра арки найдем из условия равенства нулю перемещений  $\delta_{23} = \delta_{32}$ :

$$c = \frac{\int_0^l \frac{y_c dx}{EJ \cos \varphi}}{\int_0^l \frac{dx}{EJ \cos \varphi}} = \frac{\int_0^l \frac{(y-f) dx}{EJ \cos \varphi}}{\int_0^l \frac{dx}{EJ \cos \varphi}} \quad (5)$$

С учетом зависимостей для усилий (4) и перейдя к интегрированию по  $x$  ( $ds = dx / \cos \varphi$ ), выражения (2) и (3) получим в виде:

$$\begin{aligned} \delta_{11} &= \int_0^l \frac{x_c^2 dx}{EJ \cos \varphi} + \int_0^l \eta \frac{\cos \varphi dx}{GA} + \int_0^l \frac{\sin^2 \varphi dx}{EA \cos \varphi}; \\ \Delta_{1P} &= \sum_0^l \int_0^l \frac{x_c M_p^0 dx}{EJ \cos \varphi} + \sum_0^l \int_0^l \eta \frac{Q_p^0 dx}{GA \cos \varphi} + \sum_0^l \int_0^l \frac{Q_p^0 \sin^2 \varphi dx}{EA \cos \varphi}; \\ \delta_{22} &= \int_0^l \frac{y_c^2 dx}{EJ \cos \varphi} + \int_0^l \eta \frac{\sin^2 \varphi dx}{GA \cos \varphi} + \int_0^l \frac{\cos \varphi dx}{EA}; \\ \Delta_{2P} &= - \int_0^l \frac{y_c M_p^0 dx}{EJ \cos \varphi} - \int_0^l \eta \frac{Q_p^0 \sin \varphi dx}{GA} + \int_0^l \frac{Q_p^0 \sin \varphi dx}{EA}; \\ \delta_{33} &= \int_0^l \frac{dx}{EJ \cos \varphi}; \quad \Delta_{3P} = - \int_0^l \frac{M_p^0 dx}{EJ \cos \varphi}. \end{aligned} \quad (6)$$

Неизвестные метода сил вычисляются из решения уравнения (1). Окончательные значения усилий в арке определяются по формулам:

$$\begin{aligned} M &= \bar{M}_1 X_1 + \bar{M}_2 X_2 + \bar{M}_3 X_3 + M_p = x_c X_1 - y_c X_2 - X_3 + M_p^0; \\ Q &= \bar{Q}_1 X_1 + \bar{Q}_2 X_2 + \bar{Q}_3 X_3 + Q_p = \cos \varphi X_1 - \sin \varphi X_2 + Q_p^0 \cos \varphi; \\ N &= \bar{N}_1 X_1 + \bar{N}_2 X_2 + \bar{N}_3 X_3 + N_p = -\sin \varphi X_1 - \cos \varphi X_2 - Q_p^0 \sin \varphi. \end{aligned}$$

Вычисление интегралов в (5) и (6) в большинстве случаев является непростоим делом, и поэтому непосредственное интегрирование их чаще всего заменяют численным суммированием при разбивке пролета арки на конечное число участков ( $n$ ). При этом разбивать пролет удобнее на равные части, что позволяет вынести их длины  $\Delta x = l/n$  за знаки сумм. В этом случае выражение для определения положения упругого центра арки получим в виде

$$\begin{aligned} c &= \frac{\sum_1^n \frac{y-f}{EJ \cos \varphi}}{\sum_1^n \frac{1}{EJ \cos \varphi}}, \text{ а выражения (5) принимают следующий вид:} \\ \delta_{11} &= \left( \sum_1^n \frac{x_c^2}{EJ \cos \varphi} + \sum_1^n \eta \frac{\cos \varphi}{GA} + \sum_1^n \frac{\sin^2 \varphi}{EA \cos \varphi} \right) \Delta x; \\ \Delta_{1P} &= \left( \sum_1^n \frac{x_c M_p^0}{EJ \cos \varphi} + \sum_1^n \eta \frac{Q_p^0}{GA \cos \varphi} + \sum_1^n \frac{Q_p^0 \sin^2 \varphi}{EA \cos \varphi} \right) \Delta x; \\ \delta_{22} &= \left( \sum_1^n \frac{y_c^2}{EJ \cos \varphi} + \sum_1^n \eta \frac{\sin^2 \varphi}{GA \cos \varphi} + \sum_1^n \frac{\cos \varphi}{EA} \right) \Delta x; \\ \Delta_{2P} &= \left( - \sum_1^n \frac{y_c M_p^0}{EJ \cos \varphi} - \sum_1^n \eta \frac{Q_p^0 \sin \varphi}{GA} + \sum_1^n \frac{Q_p^0 \sin \varphi}{EA} \right) \Delta x; \\ \delta_{33} &= \left( \sum_1^n \frac{1}{EJ \cos \varphi} \right) \Delta x; \quad \Delta_{3P} = - \left( \sum_1^n \frac{M_p^0}{EJ \cos \varphi} \right) \Delta x. \end{aligned} \quad (7)$$

Для арок постоянного сечения их жесткости будут константами и их также можно вынести за суммы. Если ввести при этом обозначения:

$$k_G = \frac{GA}{EJ}; \quad k_N = \frac{EA}{EJ}, \quad (8)$$

то выражения (7) можно записать в виде:

$$\begin{aligned} \delta_{11} &= \frac{\Delta X}{EJ} \left( \sum_1^n \frac{x_c^2}{\cos \varphi} + \sum_1^n \eta \frac{\cos \varphi}{k_G} + \sum_1^n \frac{\sin^2 \varphi}{k_N \cos \varphi} \right); \\ \Delta_{1P} &= \frac{\Delta X}{EJ} \left( \sum_1^n \frac{x_c M_P^0}{\cos \varphi} + \sum_1^n \eta \frac{Q_P^0}{k_G \cos \varphi} + \sum_1^n \frac{Q_P^0 \sin^2 \varphi}{k_N \cos \varphi} \right); \\ \delta_{22} &= \frac{\Delta X}{EJ} \left( \sum_1^n \frac{y_c^2}{\cos \varphi} + \sum_1^n \eta \frac{\sin^2 \varphi}{k_G \cos \varphi} + \sum_1^n \frac{\cos \varphi}{k_N} \right); \\ \Delta_{2P} &= \frac{\Delta X}{EJ} \left( - \sum_1^n \frac{y_c M_P^0}{\cos \varphi} - \sum_1^n \eta \frac{Q_P^0 \sin \varphi}{k_G} + \sum_1^n \frac{Q_P^0 \sin \varphi}{k_N} \right); \\ \delta_{33} &= - \frac{\Delta X}{EJ} \left( \sum_1^n \frac{1}{\cos \varphi} \right); \quad \Delta_{3P} = - \frac{\Delta X}{EJ} \left( \sum_1^n \frac{M_P^0}{\cos \varphi} \right). \end{aligned} \quad (9)$$

Заметим, что первые слагаемые в этих выражениях учитывают изгибающие моменты, вторые слагаемые – поперечные силы, а третьи – продольные силы в арке.

При использовании численного интегрирования ось арки заменяется ломаной линией, а все величины, входящие в формулы (7) и (9), должны вычисляться в средних точках участков разбивки. Точность расчета будет, естественно, тем выше, чем на большее число участков будет разбит пролет арки. Вычисление величин  $\delta_{ij}$  и  $\Delta_{iP}$ , таким образом, довольно трудоемкое дело.

Для определения перемещений точек (сечений) и соответственно деформированного вида арки воспользуемся формулой Мора. Вычисление интегралов Мора также будем выполнять путем численного суммирования по конечному числу участков, на которые разбивается пролет арки, с применением формулы трапеций

$$\Delta_{iP} = \sum \int \frac{\bar{M}_i M_P ds}{EJ_j} = \sum_{j=1}^{n_j} \frac{\Delta x_j}{EJ_j \cos \varphi_j} \left( 2\bar{M}_i^{лев} \cdot M_{P_j}^{лев} + \bar{M}_i^{лев} \cdot \bar{M}_j^{np} + \bar{M}_i^{np} \cdot M_{P_j}^{лев} + 2\bar{M}_i^{np} \cdot M_{P_j}^{np} \right), \quad (10)$$

где:  $\Delta_{iP}$  – перемещение точки в  $i$ -ом направлении;  $n_j$  – число участков, на которые разбивается пролет арки;  $EJ_j$  – жесткость  $j$ -го участка арки;  $\bar{M}_i$ ,  $\bar{M}_j^{лев}$ ,  $\bar{M}_j^{np}$  – зависимость изменения изгибающих моментов от действия единичной силы, приложенной в направлении искомого перемещения, и ее левая и правая ординаты на  $j$ -ом участке;  $M_{P_j}^{лев}$ ,  $M_{P_j}^{лев}$ ,  $M_{P_j}^{np}$  – зависимость изменения изгибающих моментов от действия внешней нагрузки и ее ординаты (левая и правая) на  $j$ -ом участке;  $\cos \varphi_j$  – косинус угла наклона касательной к оси арки на том же участке по отношению к оси  $x$ .

Для построения схемы деформирования арки необходимо вычислить с использованием формулы (10) вертикальные и горизонтальные перемещения для сечений (точек) арки с заданным шагом. В качестве таких точек примем центры сечений арок, которые ранее использовались для расчета усилий. Чем больше будет этих точек, тем точнее сможем представить форму деформирования арки.

#### ЛИТЕРАТУРА

1. Дарков А.В., Шапошников Н.Н. Строительная механика. – М.: Высш. шк., 1986. – 607 с.